

# **Einfluss der Strahlungsvorgänge an der Gebäudehülle auf den Energieverbrauch**

Autor(en): **Sagelsdorff, R. / Frank, Th, / Finger, G.**

Objektyp: **Article**

Zeitschrift: **IABSE congress report = Rapport du congrès AIPC = IVBH  
Kongressbericht**

Band (Jahr): **11 (1980)**

PDF erstellt am: **17.09.2024**

Persistenter Link: <https://doi.org/10.5169/seals-11305>

## **Nutzungsbedingungen**

Die ETH-Bibliothek ist Anbieterin der digitalisierten Zeitschriften. Sie besitzt keine Urheberrechte an den Inhalten der Zeitschriften. Die Rechte liegen in der Regel bei den Herausgebern. Die auf der Plattform e-periodica veröffentlichten Dokumente stehen für nicht-kommerzielle Zwecke in Lehre und Forschung sowie für die private Nutzung frei zur Verfügung. Einzelne Dateien oder Ausdrucke aus diesem Angebot können zusammen mit diesen Nutzungsbedingungen und den korrekten Herkunftsbezeichnungen weitergegeben werden. Das Veröffentlichen von Bildern in Print- und Online-Publikationen ist nur mit vorheriger Genehmigung der Rechteinhaber erlaubt. Die systematische Speicherung von Teilen des elektronischen Angebots auf anderen Servern bedarf ebenfalls des schriftlichen Einverständnisses der Rechteinhaber.

## **Haftungsausschluss**

Alle Angaben erfolgen ohne Gewähr für Vollständigkeit oder Richtigkeit. Es wird keine Haftung übernommen für Schäden durch die Verwendung von Informationen aus diesem Online-Angebot oder durch das Fehlen von Informationen. Dies gilt auch für Inhalte Dritter, die über dieses Angebot zugänglich sind.

**VI****Einfluss der Strahlungsvorgänge an der Gebäudehülle auf den Energieverbrauch**

Influence of Radiation Processes at the Building Envelope on the Energy Consumption

Influence des processus de radiation de la surface du bâtiment sur la consommation énergétique

**R. SAGELSDORFF, TH. FRANK**  
Swiss Federal Institute for Material Testing  
EMPA  
Dübendorf, Switzerland

**G. FINGER, F. KNEUBUEHL**  
**F. THIEBAUD, CH. ZUERCHER**  
Solid State Physics Laboratory  
Swiss Federal Institute of Technology  
Zurich, Switzerland

**ZUSAMMENFASSUNG**

Untersuchung der physikalischen Effekte, welche den Energiehaushalt eines Gebäudes entscheidend beeinflussen: Sonneneinstrahlung und atmosphärische Gegenstrahlung; messtechnische Erfassung der meteorologischen Einflussparameter; spektrale Eigenschaften von Gebäudeoberflächen; Einfluss von selektiven Beschichtungen auf den Wärmebedarf von Häusern; Vergleich der Energiebedarfsberechnungen mit Messergebnissen des thermischen Verhaltens von Experimentiergebäuden.

**SUMMARY**

Discussion of physical effects which can be decisive for energy savings in buildings: solar radiation and atmospheric counterradiation; experimental evaluation of meteorological data bases, spectral properties of building materials; effect of selective coatings to heat losses; comparison of heat load calculations with measurements of the thermal behavior of real test houses.

**RESUME**

Discussion des processus physiques qui peuvent être décisifs pour l'économie d'énergie: radiation solaire et irradiation atmosphérique; évaluation expérimentale des valeurs météorologiques; propriétés spectrales des matériaux de construction; influence de couches superficielles sélectives sur les pertes de chaleur; comparaison entre les calculs et les mesures du comportement thermique de bâtiments réels.



## EINLEITUNG

Verschiedene Einflussgrössen wie Aussenklima, Innenklima, Bautechnik und Heizungssystem bestimmen den Wärmehaushalt eines Gebäudes. Der vorliegende Beitrag untersucht die Wärmetransportvorgänge an der Gebäudehülle, insbesondere die daran beteiligten Strahlungsgrössen, und zeigt deren Einfluss auf den Gesamtwärmebedarf des Gebäudes unter Berücksichtigung der übrigen Parameter auf.

Der erste Teil ist den meteorologischen Strahlungsgrössen gewidmet und setzt sich mit den charakteristischen Eigenschaften der Atmosphäre auseinander. Der zweite Teil befasst sich mit der Berechnung des Wärmehaushaltes von Gebäuden und beleuchtet den Einfluss der spektralen Oberflächeneigenschaften auf die Transmissionsverluste. Diesen Berechnungen werden abschliessend die Messresultate von Versuchsbauten gegenübergestellt.

Die vorliegenden Arbeiten wurden im Rahmen eines mehrjährigen Forschungsprojektes des Schweizerischen Nationalfonds, Nationales Programm "Energie", gemeinsam von der Eidg. Materialprüfungsanstalt EMPA in Dübendorf und der Eidg. Technischen Hochschule ETH in Zürich, durchgeführt. Das Projekt wird ebenfalls unterstützt von der ETH-Z, der EMPA Dübendorf und der GRD des EMD.

### 1. TEIL: STRAHLUNGSAUSTAUSCH ZWISCHEN GEBÄUDEHÜLLE UND ATMOSPHÄRE

Ch. Zürcher, G. Finger, F. Kneubühl und F. Thiébaud

#### 1.1 Wärmetransport durch die Gebäudehülle

Die verschiedenen Anteile an Strahlungsenergie, welche den Wärmetransport von und zu einer terrestrischen Oberfläche mit der Temperatur  $T_0$  mitbestimmen, sind in der untenstehenden Skizze schematisch dargestellt. Einer Wand z.B. wird einerseits durch Sonneneinstrahlung (sowohl direkt wie diffus, Wellenlänge  $\lambda \sim 0.3\mu\text{m} - 3\mu\text{m}$ ) und andererseits durch die Infrarotrückstrahlung der Atmosphäre ( $\lambda \sim 3\mu\text{m} - 40\mu\text{m}$ ) Wärme zugeführt. Die Oberfläche ihrerseits hingegen strahlt gemäss dem Planck'schen Strahlungsgesetz proportional zur vierten Potenz ihrer Oberflächentemperatur  $T_0$  Energie ab.

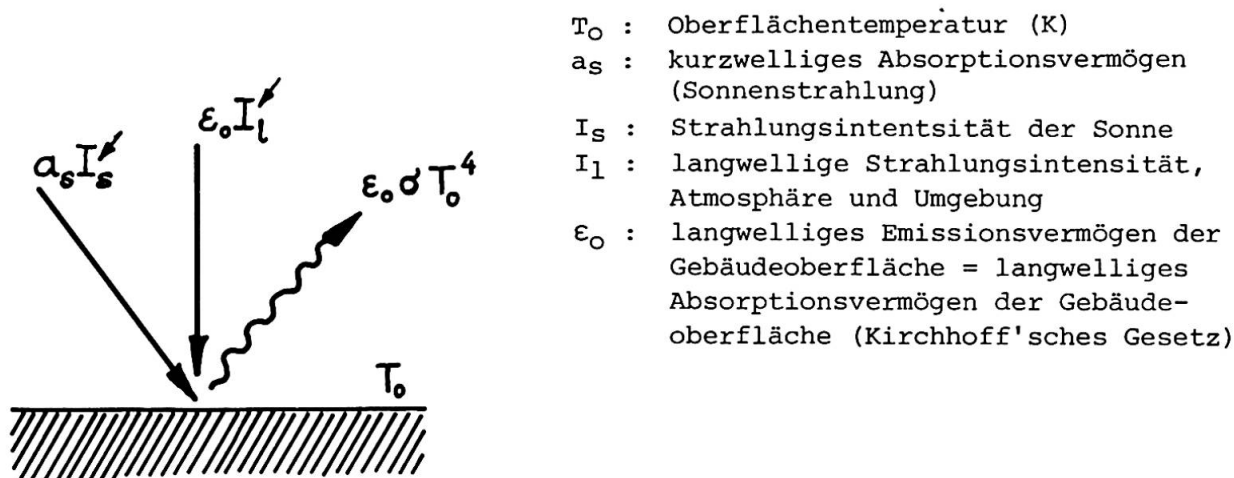


Abbildung 1: Strahlungsvorgänge an einer Gebäudefläche

Diese Strahlungsflüsse werden nun in der Praxis bei der Ermittlung der Wärme-  
strombilanz einer Wandkonstruktion durch verschiedene Näherungsansätze be-  
rücksichtigt.

Eine mögliche Form liegt in der Definition einer fiktiven Strahlungstempera-  
tur [6]:

$$\theta_{\text{Luft}}^* = \theta_{\text{Luft}} + \underbrace{\frac{a_s I_s}{\alpha_a}}_{\text{kurzwelliger Strahlungseinfluss}} - \underbrace{\frac{\epsilon_o \Delta R}{\alpha_a}}_{\text{langwelliger Strahlungseinfluss}}$$

$\theta_{\text{Luft}}$ : Aussenlufttemperatur (°C)  
 $\alpha_a$  : Wärmeübergangskoeffizient:  
       Gebäudehülle - Aussenluft  
 $\Delta R$  : langwellige Strahlungsver-  
       lustdichte:  
       Gebäudeoberfläche - Aussen-  
       luft

Der Wärmetransmissionsverlust  $q$  berechnet sich dann wie folgt:

$$q = k (\theta_i - \theta_{\text{Luft}}^*)$$

$$k = \frac{1}{1/\alpha_i + \Sigma d/\lambda + 1/\alpha_a} = \text{Wärmedurchgangskoeffizient}$$

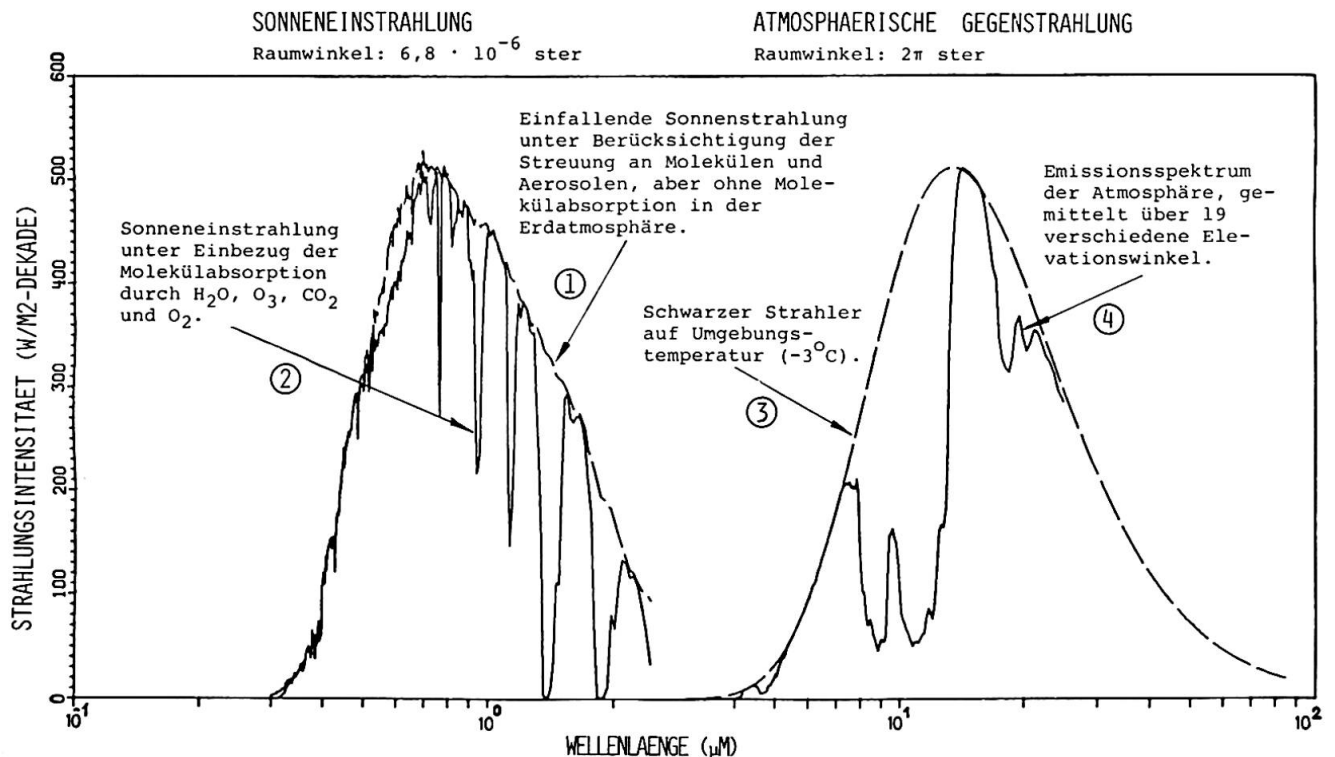
Erst eine klare, physikalische Auftrennung aber in die einzelnen Energietrans-  
portprozesse (Wärmeleitung, Konvektion und Wärmestrahlung) erlaubt genaue Aus-  
sagen über den Einfluss der Strahlungsvorgänge auf den Energiehaushalt eines  
Bauwerkes [1,2]. Eine unter dieser Voraussetzung berechnete Wärmestrombilanz  
(siehe auch Abschnitt 2.1.1) liefert bei winterlichen Klimabedingungen im  
Gleichgewichtszustand für die Aussenhaut einer Gebäudehülle Wandoberflächen-  
temperaturen  $\theta_{\text{Oa}}$ , die mehrere Grade unter der Aussenlufttemperatur liegen. Die  
Unterkühlung nimmt zudem mit wachsendem Emissionsvermögen der Gebäudeoberfläche  
zu. Dieses Absinken der Oberflächentemperatur unter die Umgebungstemperatur  
führt primär zu einer Vergrösserung der Temperaturdifferenz  $\theta_i - \theta_{\text{Oa}}$  und somit  
auch zu einem erhöhten Wärmestrom aus dem Gebäudeinnern an die Wandoberfläche.  
Verspiegelung, d.h. Vergrösserung des Reflexionsvermögens der äusseren Gebäude-  
oberfläche reduzieren diese Temperaturdifferenz und führen zu einer Ersparnis  
an Heizenergie von ca. 10 - 12 %, wenn der Energiebedarf eines infrarot schwar-  
zen Hauses als Bezugsreferenz benützt wird [3].

## 1.2 Sonne und Atmosphäre

Aus der folgenden Figur wird klar ersichtlich, dass die im Winter von einer  
 $1 \text{ m}^2$  grossen schwarzen Fläche in die Umgebung abgestrahlte Energie (Kurve 3)  
ungefähr von der gleichen Grössenordnung wie die von der Sonne eingestrahelte  
Wärmemenge (Kurve 2) ist. Die atmosphärische Gegenstrahlung (Kurve 4) basiert  
auf der Emission von IR-aktiven Gasen wie  $\text{H}_2\text{O}$ ,  $\text{CO}_2$  und  $\text{O}_3$  und zeigt im Bereich  
schwacher Aktivität dieser Gase, im sogenannten atmosphärischen Fenster von  
 $8 \mu\text{m} - 14 \mu\text{m}$ , eine reduzierte Rückstrahlung. Auf Grund dieses Rückstrahlungsde-  
fizits von gegen  $90 \text{ W/m}^2$  geht ein beträchtlicher Betrag an Wärmeenergie durch  
thermische Abstrahlung von der Gebäudehülle in den "kalten Weltraum" verloren.  
Sowohl Berechnungen wie Messungen zeigen, dass die Emission im atmosphärischen  
Fenster nicht nur wellenlängen- sondern auch richtungsabhängig ist, d.h. je  
nach Elevationswinkel des Transmissionsweges durch die Atmosphäre ändert sich  
der Betrag der eingestrahelten Energie. Aus dieser Richtungsabhängigkeit -

grösste einfallende Intensität in horizontaler Richtung, kleinster Energiezufluss aus Richtung Zenit – folgt, dass die Oberflächentemperatur einer horizontalen Gebäudefläche stärker unter die Lufttemperatur absinkt als die entsprechende Temperatur an der vertikalen Hauswand.

Diese Tatsache lässt sich unter bestimmten konstruktiven Bedingungen, d.h. bei grossem Emissionsvermögen der Gebäudehülle gegen den Zenit im Bereich zwischen  $10\mu\text{m}$  bis  $14\mu\text{m}$  und möglichst geringem Strahlungsaustausch im restlichen Wellenlängenbereich der atmosphärischen Gegenstrahlung zur Kühlung von Gebäuden (radiative cooling) ausnützen [4,5].



**Abbildung 2:** Vergleich zwischen den Intensitäten der Sonneneinstrahlung und der atmosphärischen Gegenstrahlung auf eine horizontale Ebene (Mittlere Breite, Winter, 600 m über Meer). Eine schwarze Fläche auf Umgebungstemperatur ( $-3^{\circ}\text{C}$ ) strahlt ca.  $300 \text{ W/m}^2$  ab, wogegen die Atmosphäre an einem klaren Wintertag nur ungefähr  $210 \text{ W/m}^2$  zurückstrahlt. Ein bedeckter Himmel seinerseits verhält sich annähernd wie ein schwarzer Strahler mit einem Emissionsvermögen von ungefähr 1. Die Sonneneinstrahlung auf eine horizontale Fläche beträgt in dieser Jahreszeit ca.  $240 - 340 \text{ W/m}^2$  bei einem Elevationswinkel von  $20^{\circ} - 30^{\circ}$  (Januar/Februar).

### 1.3 Erfassung meteorologischer Daten und Messung der atmosphärischen Gegenstrahlung; typische Tagesgänge bei verschiedenen Wetterzuständen

Eine automatische Wetterstation, die gemäss nachfolgendem Blockdiagramm neben den üblichen Meteorodaten wie Temperatur, Windgeschwindigkeit, Luftfeuchtigkeit, direkte und diffuse Sonneneinstrahlung ( $\lambda = 0.2\mu\text{m} - 3 \mu\text{m}$ ) noch die Wärmestrahlung der Atmosphäre ( $\lambda = 2\mu\text{m} - 40\mu\text{m}$ ) winkelabhängig über den ganzen Himmels- halbraum misst, liefert uns die für die Wärmestrombilanzberechnungen notwendigen

aufintegrierten Energieflüsse: Sonneneinstrahlung, atm. Gegenstrahlung, auf horizontale und vertikale Flächen. Neben einem primären Ziel - Vorbereitung von charakteristischen Wetterdaten für Perioden mehrerer Tage während den einzelnen Jahreszeiten, hauptsächlich Sommer und Winter - geht es bei diesen Messungen sekundär auch darum, eine eventuelle Korrelation zwischen den IR-Daten der Atmosphäre und den üblichen, bereits langfristig erfassten Meteorodaten aufzudecken, z.B. den Zusammenhang zwischen dem Emissionsvermögen der Atmosphäre und der Lufttemperatur und des Bewölkungsgrades.

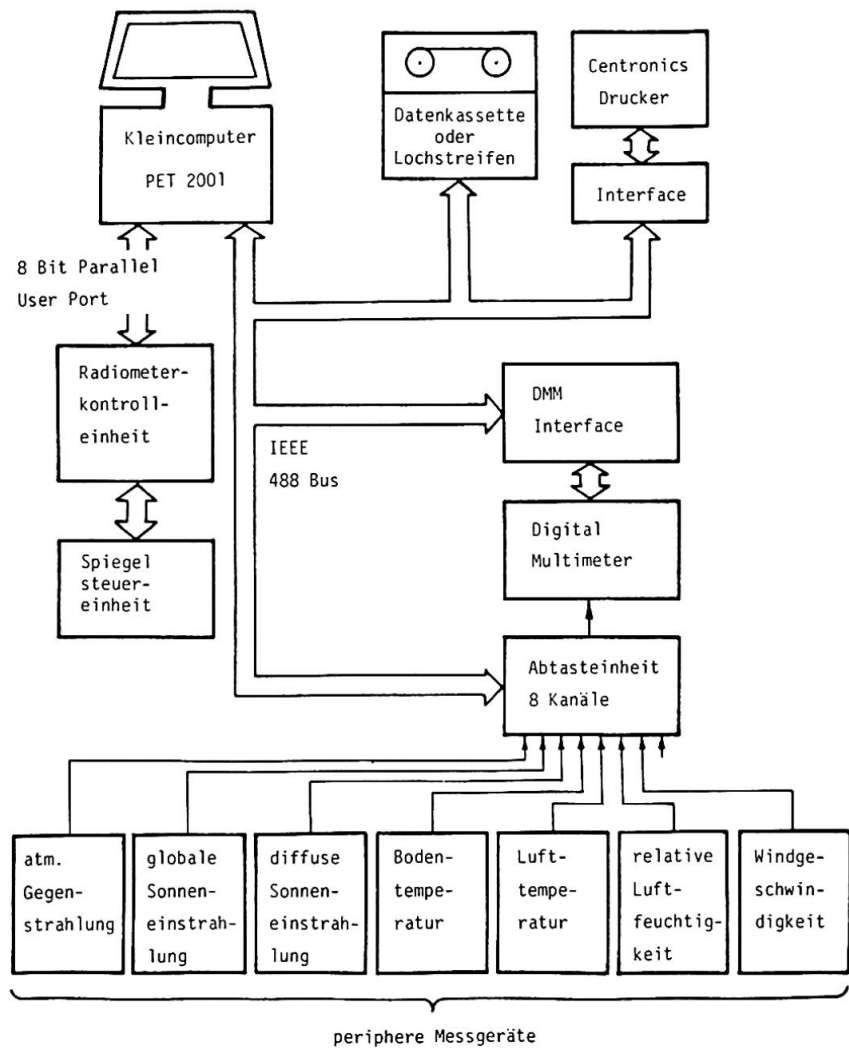


Abbildung 3: Blockdiagramm der automatischen Wetterstation

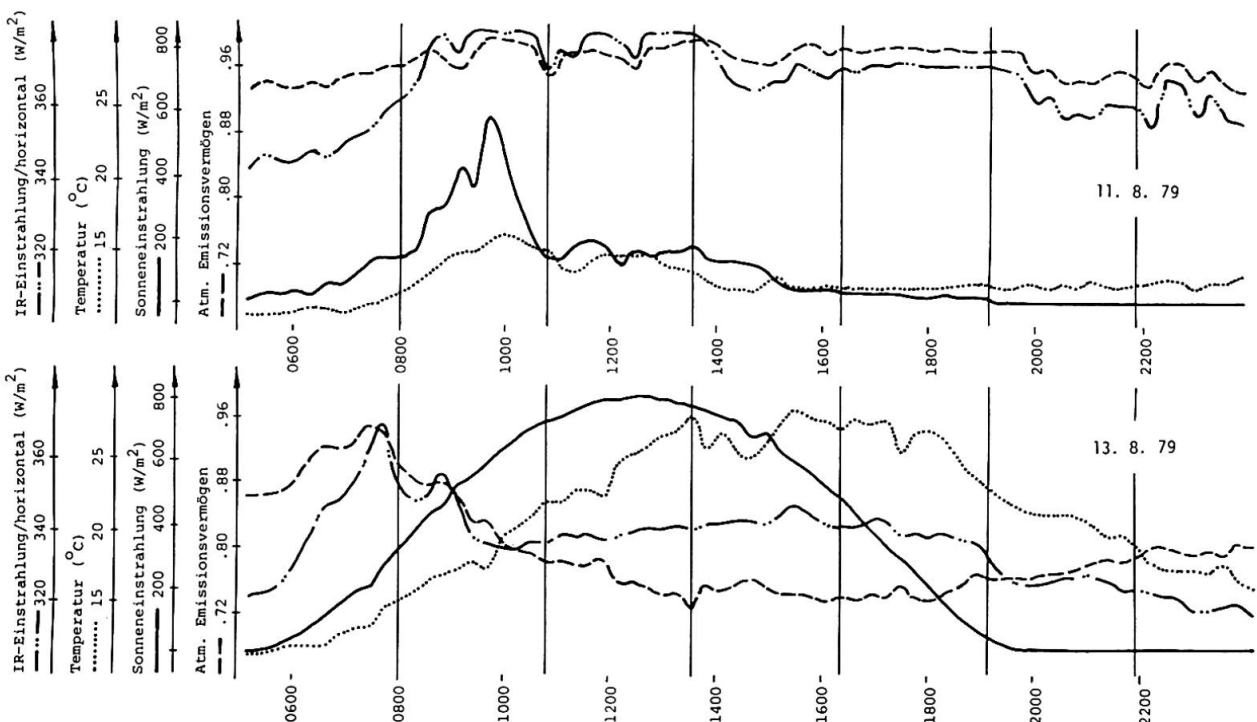


Abbildung 4: Auszug aus Datenstreifen der autom. Wetterstation in Zürich für einen klaren (untere Kurve) resp. bewölkten (obere Kurve) Sommertag

Aus den in Abbildung 4 aufgezeichneten Daten zeigt sich deutlich ein Unterschied im Emissionsvermögen der Atmosphäre bei starker Besonnung (13.8.79) bzw. bei schwacher Sonnenintensität (11.8.79). Bei klarem Wetter erreicht die Sonneneinstrahlung ihr Maximum von  $800 \text{ W/m}^2$  kurz nach Mittag. Die Emissivität der Atmosphäre fällt aber mit zunehmender Tagestemperatur von ihrem Maximalwert 0.92 frühmorgens auf ein Minimum von 0.7 zum Zeitpunkt maximaler Lufttemperatur am frühen Nachmittag. Die Ursache dieses Verhaltens, insbesondere der Einfluss von Wassermehrfachmolekülen und deren Bindungsenergie auf die atm. Strahlungscharakteristiken, bilden gegenwärtig Ausgangspunkt zu weiteren Untersuchungen. Im Gegensatz dazu bleibt das atm. Emissionsvermögen bei stark bewölkt bis bedecktem Himmel nahezu konstant auf einem Wert von 0.95, d.h. mit zunehmender Bewölkung wird unsere Atmosphäre zu einem schwarzen Strahler.

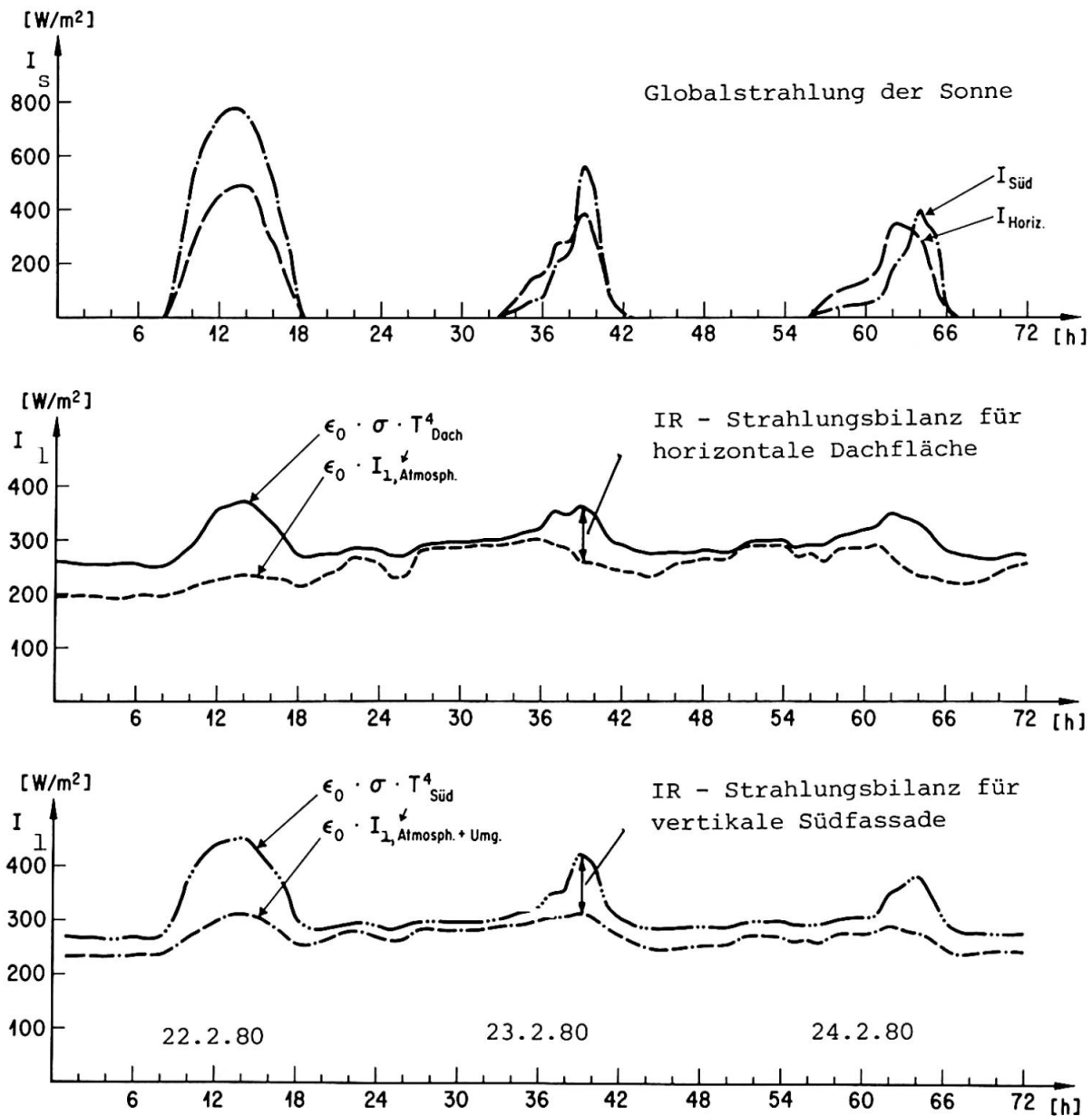


Abbildung 5: Messungen von typischen Strahlungstagesgängen im Winter (Messstation Maugwil (SG), 600 m über Meer, Schweiz)



## 2. TEIL: SPEKTRALE EIGENSCHAFTEN VON BAUMATERIALIEN UND DEREN EINFLUSS AUF DEN ENERGIEHAUSHALT VON GEBÄUDEN

R. Sagelsdorff, Th. Frank

### 2.1 Ermittlung der Transmissionsverluste

#### 2.1.1 Wärmetransportvorgänge an der Gebäudehülle

Ueblicherweise werden die zwischen Gebäudehülle und Aussenluft stattfindenden Wärmetransporte mit Hilfe eines kombinierten Wärmeübergangskoeffizienten  $\alpha_a$  ermittelt. Dies stellt eine grobe Näherung der wirklichen Verhältnisse dar und ist deshalb nur für Mittelwerts-Betrachtungen über grössere Zeiträume anwendbar, z.B. für stationäre Berechnungsverfahren anhand von Heizgradtag-Zahlen. Bei der Ermittlung des thermischen Verhaltens eines Gebäudes in Stundenschritten haben sich heute verschiedene Rechenansätze in Form einer fiktiven Sonnenlufttemperatur zur Berücksichtigung der Strahlungseinflüsse eingebürgert. Mehrere Autoren haben dabei auch Korrekturfaktoren für den langwelligen Strahlungsaustausch des Gebäudes mit seiner Umgebung eingeführt [6], [7], [8], [9].

Das nachfolgend verwendete Rechenmodell verzichtet bewusst auf die Definition einer fiktiven Strahlungslufttemperatur; es beruht auf einer expliziten Berechnung der in Abbildung 6 dargestellten Wärmeströme.

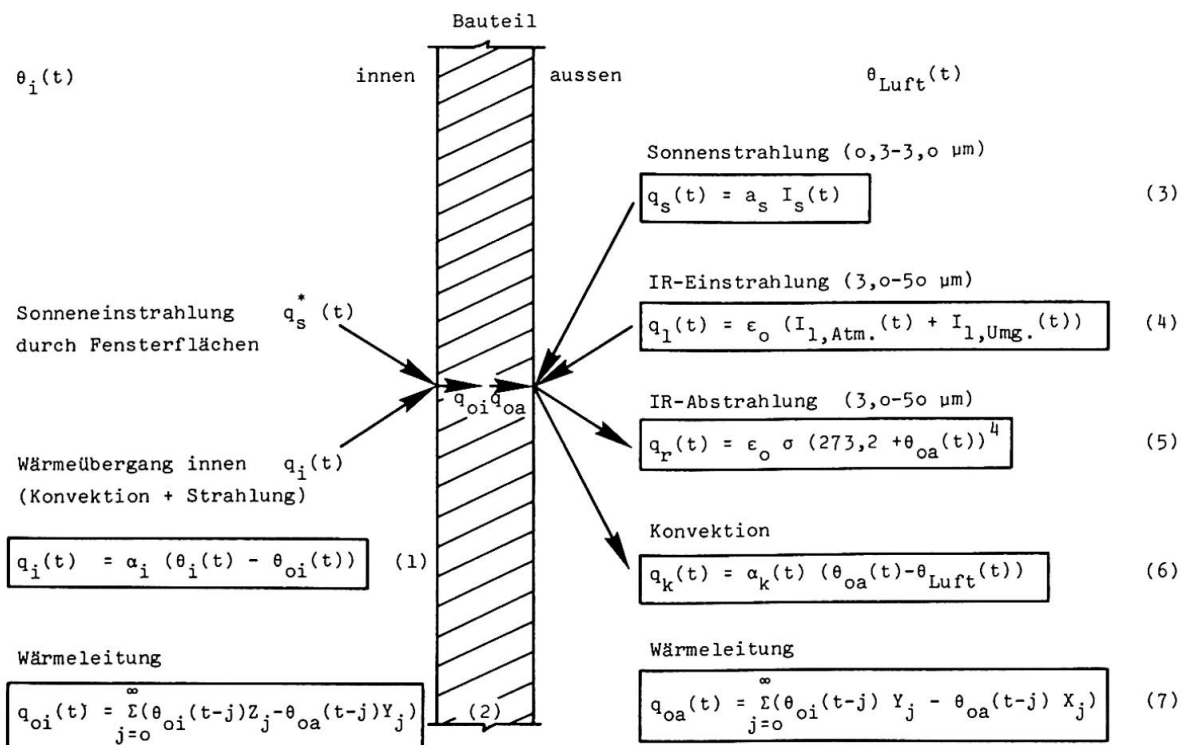


Abbildung 6: Darstellung der an der Gebäudehülle auftretenden Wärmeströme

Zu den einzelnen Formeln in Abbildung 6 gelten noch die folgenden Angaben:  
- Wandinnenseite: Der Wärmeübergang an der Innenseite, Gleichung (1), wird mit Hilfe eines kombinierten Wärmeübergangskoeffizienten,  $\alpha_i$  (Konvektion und Strahlung) ermittelt.





- Konvektion aussen: Beim konvektiven Uebergangskoeffizient  $\alpha_k(t)$  gemäss Gleichung (6) können folgende zwei Anteile unterschieden werden:

$$\alpha_k(t) = \underbrace{\alpha_k(\Delta\theta, l)}_{\text{freie Konvektion}} + \underbrace{\alpha_k(V_w, l)}_{\text{erzwungene Konvektion}} \quad (8)$$

$\Delta\theta$ : Temperaturdifferenz Oberfläche zu Umgebungsluft

$l$ : charakteristische Länge

$V_w$ : Windgeschwindigkeit

Die im Modell verwendeten Zahlenwerte stützen sich vorwiegend auf Angaben in der Literatur [10], [11].

- IR-Strahlungsaustausch der Aussenflächen: Die IR-Ein- bzw. Abstrahlungsgrössen (4) und (5) können nach Beckmann [12] wie folgt in einer resultierenden Strahlungsverlustgrösse zusammengefasst werden:

$$q_l(t) - q_r(t) = \sum_{j=1}^N \epsilon_o \epsilon_j \sigma \bar{F}_{oj} (T_j(t)^4 - T_o(t)^4) \quad (9)$$

$N$ : Anzahl Umgebungsflächen

$\bar{F}_{oj}$ : Gesamtformfaktor zwischen der Gebäudefläche  $A_o$  und der Umgebungsfläche  $A_j$

$\epsilon_o, \epsilon_j$ : Emissionszahlen der Gebäude- und Umgebungsflächen

$T_o, T_j$ : Absolute Temperaturen der Oberflächen  $A_o$  und  $A_j$

- Wärmetransport durch Leitung: Der instationäre Wärmedurchgang durch die Baukonstruktion wird nach der Methode des "Response-Factors" berechnet [13].

### 2.1.2 Möglichkeiten zur Beeinflussung der äusseren Wärmeübergangsvorgänge

Aus den in Abbildung 6 dargestellten Wärmeströmen an den Aussenflächen lassen sich folgende Anforderungen an eine ideale Gebäudeoberfläche für winterliche Verhältnisse ableiten:

- Hohes Absorptionsvermögen  $a_s$  im kurzwelligen Spektralbereich zur Erzielung eines möglichst grossen Sonnenenergiegewinnes.
- Kleines Emissionsvermögen  $\epsilon_o$  im langwelligen Bereich zur Reduktion der Strahlungsverluste. Aus Gleichung (9) geht im weiteren hervor, dass die IR-Strahlungsverluste auch mit gestalterischen Massnahmen an der Gebäudehülle selbst vermindert werden können: Die Gesamtformfaktoren zwischen den einzelnen Gebäudeflächen und den kalten Umgebungsflächen (insbesondere der Zenitbereich des Himmels) sollten möglichst klein sein.
- Reduktion der Konvektionsverluste: Schutz der Oberflächen vor direkter Windwirkung (Reduktion des erzwungenen Konvektionsanteils) und Verwendung von glatten Oberflächen, d.h. mit geringer Rauigkeit (Reduktion der freien Konvektion).

### 2.2 Spektrale Oberflächeneigenschaften von Baumaterialien

Für eine Serie von typischen Baumaterialien wurden im Labor die spektralen Oberflächeneigenschaften ausgemessen. Folgende Strahlungskennwerte wurden einzeln ermittelt und in Gesamtwerte umgerechnet:

- Spiegelnde Reflexion im kurzwelligen Bereich (0,25 - 2,5  $\mu\text{m}$ ) }  $\rho$  (6000 K)
- Diffuse Reflexion im kurzwelligen Bereich (0,25 - 2,5  $\mu\text{m}$ ) }  $a_s$  (6000 K)
- Spiegelnde Reflexion im IR-Bereich (2,5 - 25  $\mu\text{m}$ ) }  $\epsilon_o$  (300 K)
- Diffuse Reflexion im IR-Bereich (2,5 - 25  $\mu\text{m}$ ) }

In Tabelle 1 sind die Reflexionskurven sowie die rechnerisch ermittelten Strahlungskennwerte zusammengestellt.

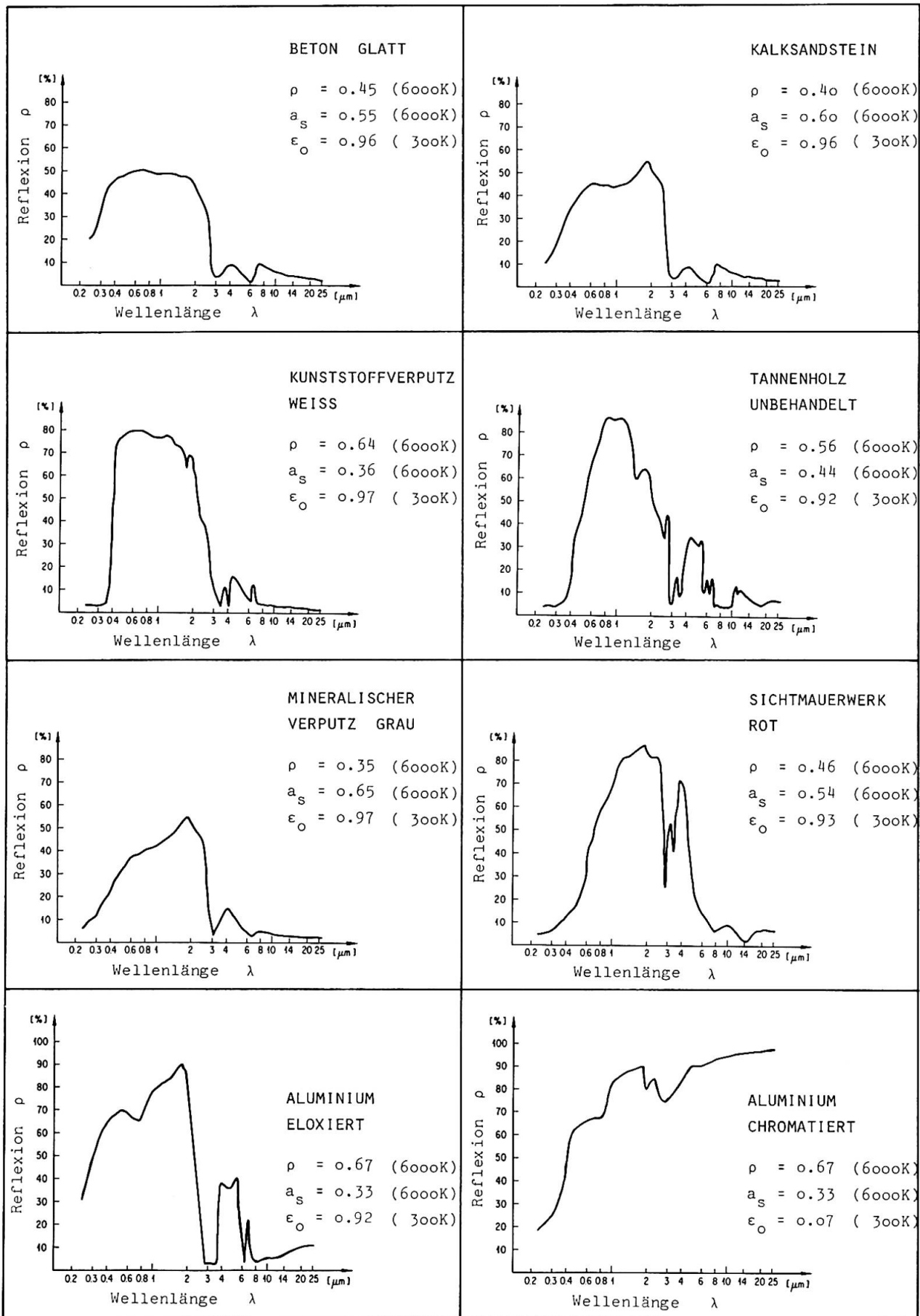


Tabelle 1: Spektrale Oberflächeneigenschaften von Baumaterialien



## 2.3 Simulationsmodell zur Ermittlung des Wärmebedarfes von Gebäuden

### 2.3.1 Randbedingungen

Bei allen Modellrechnungen haben die Randbedingungen einen starken Einfluss auf die Ergebnisse. Sie sind deshalb besonders sorgfältig festzulegen und auf die Praxis abzustimmen. Für die vorliegende Arbeit gelten folgende Bedingungen:

- Thermische Modellabgrenzung: Das Gebäude wird durch seine Gebäudehülle allein, die beliebig aus opaken und transparenten Bauteilen zusammengesetzt werden kann, beschrieben. Eine Unterteilung des Gebäudeinnern in Einzelräume findet nicht statt. Hingegen kann die Speichermasse der Innenbauteile näherungsweise mit in die Simulation einbezogen werden, indem sie als gleichmässig auf die Bodenfläche verteilt angenommen wird. Interne Lasten und Luftwechselraten können in Stundenschritten variiert werden. Die durch Fensterflächen eingestrahlte Sonnenenergie  $q_s^*$  (vgl. Abbildung 6) wird nach folgendem Ansatz aufgeteilt: 50 % der eindringenden Strahlung verteilt auf die Bodenfläche. 50 % der eindringenden Strahlung verteilt auf die Wandflächen. Die Wärmespeicherfähigkeit der Innenluft wird vernachlässigt.
- Klimadaten: Das Rechenprogramm benötigt neben der Aussenlufttemperatur, der Windgeschwindigkeit und Windrichtung sämtliche relevanten Strahlungsdaten (kurz- und langwellig) gemäss Abbildung 6.
- Bilanzierung: Ueber jede Gebäudeoberfläche, aussen und innen, wird die Wärme-strombilanzgleichung aufgestellt. Der Strahlungsterm 4. Ordnung wird dabei mit einer Taylor-Reihenentwicklung linearisiert. Ueber das gesamte Innenraumvolumen wird schlussendlich die Raumbilanz aufgestellt und das resultierende Gleichungssystem durch Matrix-Inversion aufgelöst.
- Heizungsregelung: Die Heizleistung wird unter Einhaltung von vorgegebenen stündlichen Innenlufttemperaturgrenzen  $\theta_{imax}$  und  $\theta_{imin}$  ermittelt. Es wird also ein Schwankungsbereich  $\Delta\theta_i = \theta_{imax} - \theta_{imin}$  zugelassen; dadurch können beliebige Innentemperaturverhältnisse (z.B. Nachtabsenkungen etc.) berücksichtigt werden.
- Berechnungsgrössen: Mit Hilfe des Simulationsprogrammes können sämtliche Oberflächentemperaturen, die Wärmeströme an den Oberflächen, die Raumlufttemperatur und die Heizleistung ermittelt werden. Die Gesamtwärmeverluste sowie die Wärmergewinne werden zudem in einer Detailbilanz nach ihren Anteilen analysiert. Eine ausführliche Beschreibung des Simulationsprogrammes kann dem Bericht [14] entnommen werden.

### 2.3.2 Variantenstudie über den Einfluss der spektralen Oberflächeneigenschaften auf den Gesamtenergiebedarf eines Gebäudes

Die nachfolgenden Vergleichsberechnungen an einem Ein- und Mehrfamilienhaus sollen einerseits den Einfluss der spektralen Oberflächeneigenschaften als auch der Wandkonstruktionsarten auf den Wärmebedarf eines Gebäudes aufzeigen. Für die Klimadaten wurde ein Datensatz aus vorhandenen Messungen der Winterperiode 79/80 verwendet; die gewählte Heizperiode Oktober-April wurde dabei so zusammengestellt, dass die monatlichen Durchschnittswerte bezüglich Lufttemperatur und Sonneneinstrahlung annähernd den langjährigen Mittelwerten für Zürich entsprechen.

- Gebäudespezifikationen: Tabelle 3 gibt einen Ueberblick der verwendeten Gebäudedaten. Sie wurden aufgrund statistischer Angaben über schweizerische Wohnbauten ausgewählt (EFH=Einfamilienhaus, MFH=Mehrfamilienhaus). Alle Varianten weisen dieselben Dach- und Bodenkonstruktionen gemäss Tabelle 2 auf. Bei den Wandkonstruktionen wurden sowohl bezüglich Speichermasse als auch Wärmedämmung verschiedene Kombinationen zusammengestellt. Die Isolationsstärken der schweren Konstruktion (Wand 1) und der leichten Konstruktion (Wand 3) wurden so ge-

wählt, dass beide genau dieselben Wärmedämmeigenschaften erreichen. Der Wärmedurchgangskoeffizient der Fensterflächen beträgt  $k = 3,1 \text{ W/m}^2\text{K}$ , die Gesamtstrahlungsdurchlasszahl  $\tau = 0,4$ .

- Heizungsregelung: Für alle Rechenvarianten wurde dasselbe Heizungsregime verwendet: Tagesbetrieb von 7h - 22h bei  $\theta_{\text{imax}} = 21^\circ\text{C}$  und  $\theta_{\text{imin}} = 19^\circ\text{C}$ . Nachts von 22h - 6h wurde ein freier Temperaturverlauf ohne Heizungsleistung bis zu einer unteren Grenze von  $\theta_{\text{imin}} = 15^\circ\text{C}$  zugelassen. Start der Heizungsanlage um 6h mit einer von der Aussenlufttemperatur abhängigen Maximalleistung.

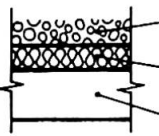
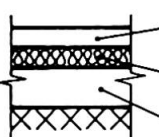
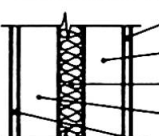
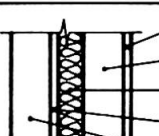
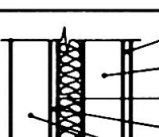
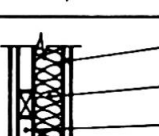

BAUTEIL	KONSTRUKTION	d cm	$\lambda$ W/mK	$\rho$ kg/m <sup>3</sup>	c Wh/kgK	$\Lambda$ W/m <sup>2</sup> K	CR	HCR h
DACH		6	0,70	1800	0,22	0,46	0,85	8
		8	0,04	30	0,39			
		20	1,80	2400	0,30			
BODEN		5	1,50	2100	0,30	0,47	0,75	6
		4	0,04	30	0,39			
		15	1,80	2400	0,30			
1 SCHWERE WAND		1	0,70	1400	0,26	0,54	0,85	15
		15	0,44	1100	0,26			
		4,7	0,04	100	0,39			
		12,5	0,44	1100	0,26			
		2	0,87	1800	0,30			
2.1 SICHT-MAUERWERK		1	0,70	1400	0,26	0,80	0,84	13
		14	0,47	1200	0,26			
		2	0,04	30	0,39			
		2	$1/\Lambda =$ 0,17					
		14	0,52	1400	0,26			
2.2 SICHT-MAUERWERK		1	0,70	1400	0,26	0,36	0,84	15
		14	0,47	1200	0,26			
		8	0,04	30	0,39			
		2	$1/\Lambda =$ 0,17					
		14	0,52	1400	0,26			
3 LEICHTE WAND		1,8	0,17	800	0,58	0,54	0,21	5
		5,8	0,04	100	0,39			
		2	$1/\Lambda =$ 0,17					
		1,8	0,17	800	0,58			
4 HOMOGENE WAND		1	0,70	1400	0,26	0,54	0,94	23
		30,5	0,17	600	0,44			
		2	0,87	1800	0,26			

Tabelle 2: Aufbau der Wand-, Dach- und Bodenkonstruktionen.  
 CR und HCR sind Kennwerte aus der "Response-Factor" Theorie (vgl. [13]): CR: "Common Ratio"  
 HCR: Anzahl Stunden bis "Common Ratio" erreicht.



HAUS-TYP	VOLUMEN V [m <sup>3</sup> ]	OBER- FLAECHE A [m <sup>2</sup> ]	A/V [m <sup>-1</sup> ]	BODEN- FLAECHE [m <sup>2</sup> ]	DACH- FLAECHE [m <sup>2</sup> ]	WAND- FLAECHE [m <sup>2</sup> ]	FENSTER- FLAECHE [m <sup>2</sup> ]	FENSTER- ANTEIL [%]	LUFT- WECHSEL n <sub>1</sub> [h <sup>-1</sup> ]	INTERNE LASTEN Q <sub>int.</sub> [W]
E F H	480	376	0,78	80	80	Nord 56 Ost 40 Süd 44 West 40	Nord 4 Ost 8 Süd 16 West 8	16,7	0,5	400
M F H	5775	2150	0,37	385	385	Nord 425 Ost 125 Süd 425 West 125	Nord 100 Ost 40 Süd 100 West 40	20,3	0,7	4200

Tabelle 3: Gebäudespezifikationen für die Variantenstudie

- Spektrale Oberflächeneigenschaften: Die Eigenschaften der gesamten opaken Außenhülle (exkl. Bodenfläche) des Gebäudes wurden mit den in Tabelle 1 ermittelten Strahlungskennwerten variiert. Zur Gegenüberstellung wurde zudem eine im IR-Bereich verspiegelte Oberfläche ( $\epsilon_0 = 0,10$ ) berücksichtigt.

HAUSTYP	OBERFLAECHE- EIGENSCHAFTEN		W A N D K O N S T R U K T I O N E N				
	a <sub>s</sub>	ε <sub>0</sub>	Wand 1 k=0.50 W/m <sup>2</sup> K (schwer)	Wand 2.1 k=0.70 W/m <sup>2</sup> K (schwer)	Wand 2.2 k=0.34 W/m <sup>2</sup> K (schwer)	Wand 3 k=0.50 W/m <sup>2</sup> K (leicht)	Wand 4 k=0.50 W/m <sup>2</sup> K (homogen)
E F H	0,36	0,97	20,1 (18,9)	x	x	20,2 (18,5)	20,2 (18,6)
	0,54	0,93	x	22,2 (18,8)	17,5 (19,0)	x	x
	0,65	0,97	19,1 (19,0)	x	x	19,3 (18,5)	x
	0,65	0,10	15,9 (19,2)	x	x	15,9 (18,8)	x
M F H	0,36	0,97	193,4 (18,7)	x	x	x	197,5 (18,6)
	0,54	0,93	x	207,2 (18,7)	179,7 (18,8)	x	x
	0,65	0,97	189,3 (18,7)	x	x	x	x
	0,65	0,10	168,7 (18,8)	x	x	x	x

Tabelle 4: Zusammenstellung des Heizenergiebedarfes über eine Heizperiode (Oktober-April) ohne Berücksichtigung eines Wirkungsgrades der Heizungsanlage in 10<sup>3</sup>·KWh. In Klammern die über die Gesamtperiode gemittelte Raumlufttemperatur.

### Interpretation der Rechenresultate:

- Die Masse der Aussenwand hat nur einen geringen Einfluss auf den Gesamtwärmebedarf.
- Die Verbesserung des k-Wertes der Aussenwände von 0,70 auf 0,34 W/m<sup>2</sup>K brachte eine Einsparung von 21 % beim Einfamilienhaus und 13 % beim Mehrfamilienhaus.
- Ein hohes Absorptionsvermögen im sichtbaren Wellenlängenbereich ( $a_s = 0,65$  gegenüber  $a_s = 0,36$ ) allein verbesserte die Wärmebilanz des EFH um 5 %, diejenige des MFH um 2 %.
- Zusammen mit der Reduktion des IR-Emissionsvermögens der Gebäudehülle auf  $\epsilon_0 = 0,10$  können Energieeinsparungen in der Grössenordnung von 21 % bei EFH und 13 % bei MFH erzielt werden.
- Die Ausnutzung der Sonneneinstrahlung ist bei gleichbleibendem Heizungsregime allein vom Absorptionsvermögen und den Wärmeübergangsbedingungen an der Gebäudehülle abhängig.

## 2.4 Messungen an Versuchsbauten

### 2.4.1 Messanordnung

Um die Richtigkeit der verwendeten Rechenmodelle zur Erfassung der Strahlungsvorgänge an der Gebäudehülle überprüfen zu können, wurden zwei in ihren Infrarot-Eigenschaften unterschiedlichen Messkabinen (Breite/Höhe/Länge = 3,0/3,0/4,5 m) aufgestellt. Diese weisen eine fensterlose, in Leichtbauweise erstellte Aussenhülle mit identischen Wärmedämmeigenschaften (k-Wert = 0,50 W/m<sup>2</sup>K) auf. Sie unterscheiden sich allein in ihrem IR-Reflexionsverhalten: Die erste Kabine ist aus eloxierten Aluminiumpanels aufgebaut ( $\epsilon_0 = 0,92$ ), die zweite aus chromatiertem Aluminium ( $\epsilon_0 = 0,07$ ) (vgl. Tabelle 1). Im kurzwelligen Bereich weisen beide Oberflächen ein Absorptionsvermögen von  $a_s = 0,33$  auf. Zusammen mit einer Wetterstation sind beide Kabinen an einer 140-Kanal Datenerfassungsanlage angeschlossen. Ermittelt werden sowohl die zur Aufrechterhaltung eines konstanten Innenklimas erforderlichen Heizleistungen als auch sämtliche Oberflächen- und Lufttemperaturen. Die Datenerfassungsanlage übernimmt gleichzeitig die Heizungsregelung der beiden Kabinen.

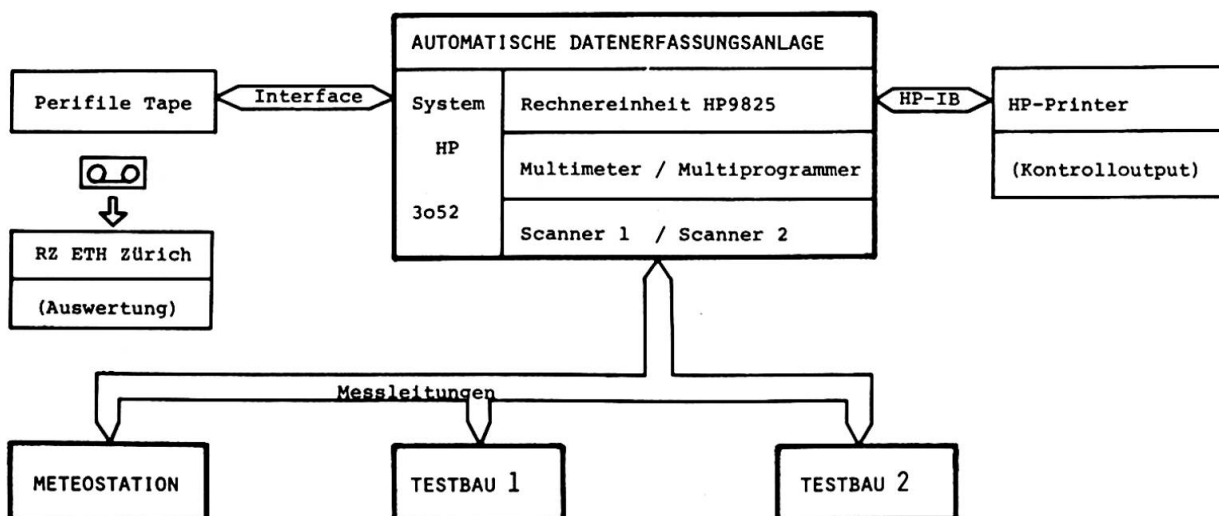


Abbildung 7: Messanordnung zur Bestimmung des thermischen Verhaltens von zwei Testbauten.





### 2.4.2 Messresultate

Erste Messserien wurden im Februar 1980 durchgeführt. Die Temperaturverläufe der beiden Dachoberflächen über eine typische 3-Tagesperiode sind in Abbildung 8 dargestellt:

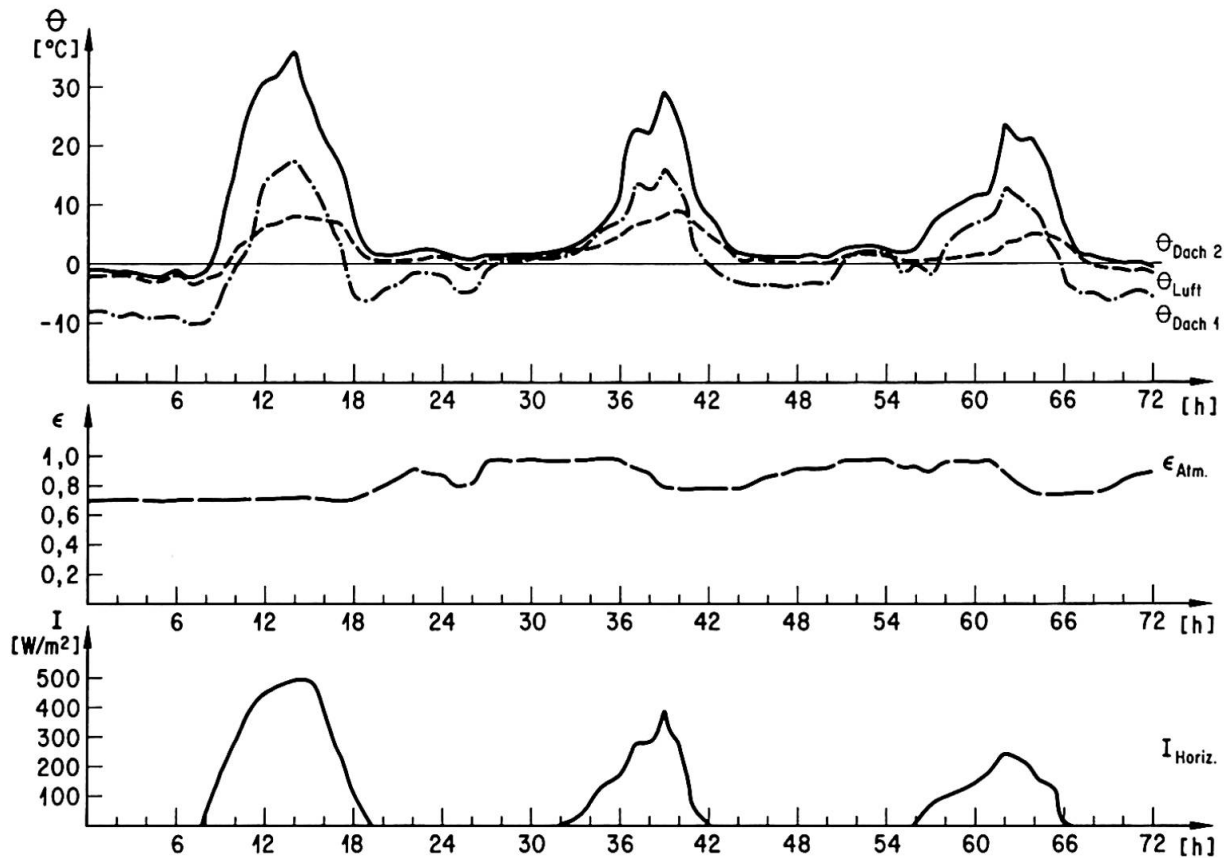


Abbildung 8: Zusammenstellung der Messergebnisse

- Temperaturverläufe  $\theta_{\text{Dach 1}}$  (IR-schwarz),  $\theta_{\text{Dach 2}}$  (IR-reflektierend),  $\theta_{\text{Luft}}$
- Emissivität der Atmosphäre  $\epsilon_{\text{Atm}} = \frac{I_{1,\text{atm}}}{\sigma T_L^4}$
- Sonneneinstrahlung  $I_{\text{Horiz}}$

Bei klarem Himmel, d.h. bei kleinem  $\epsilon_{\text{Atm}}$ , unterkühlt sich die IR-schwarze Dachfläche 1 erheblich; ihre Oberflächentemperatur sinkt bis zu  $9^\circ\text{C}$  unter die Aussenlufttemperatur ab. Die IR-reflektierende Dachfläche 2 hingegen weist über die ganze Beobachtungsperiode eine über der Aussenluft liegende Temperatur auf. Bei den IR-schwarzen Wandoberflächen wurde eine Unterkühlung von  $2,5^\circ\text{C}$  beobachtet. Bei Sonneneinstrahlung erwärmt sich die IR-reflektierende Oberfläche 2 (bei identischem Absorptionskoeffizient  $a_s$ ) wesentlich stärker, bedingt durch die starke Reduktion der Strahlungsverluste. Die Messungen zeigen deutlich, dass die Wirkung der IR-Verspiegelung für winterliche Verhältnisse positiv ausfällt, im Sommer jedoch zu Kühllastproblemen führen muss. Die ideale Gebäudehülle sollte deshalb zwei Betriebsarten zulassen, um allen wärmetechnischen Anforderungen gerecht zu werden (winterlicher und sommerlicher Wärmeschutz).

### 2.4.3 Ueberprüfung des Rechenmodells

Mit Hilfe von Einzelmessungen wurde der konvektive Wärmeübergangskoeffizient an Wand- und Dachflächen ermittelt. Die Rechenergebnisse des Simulationsmodelles sind in Abbildung 9 den gemessenen Werten gegenübergestellt.



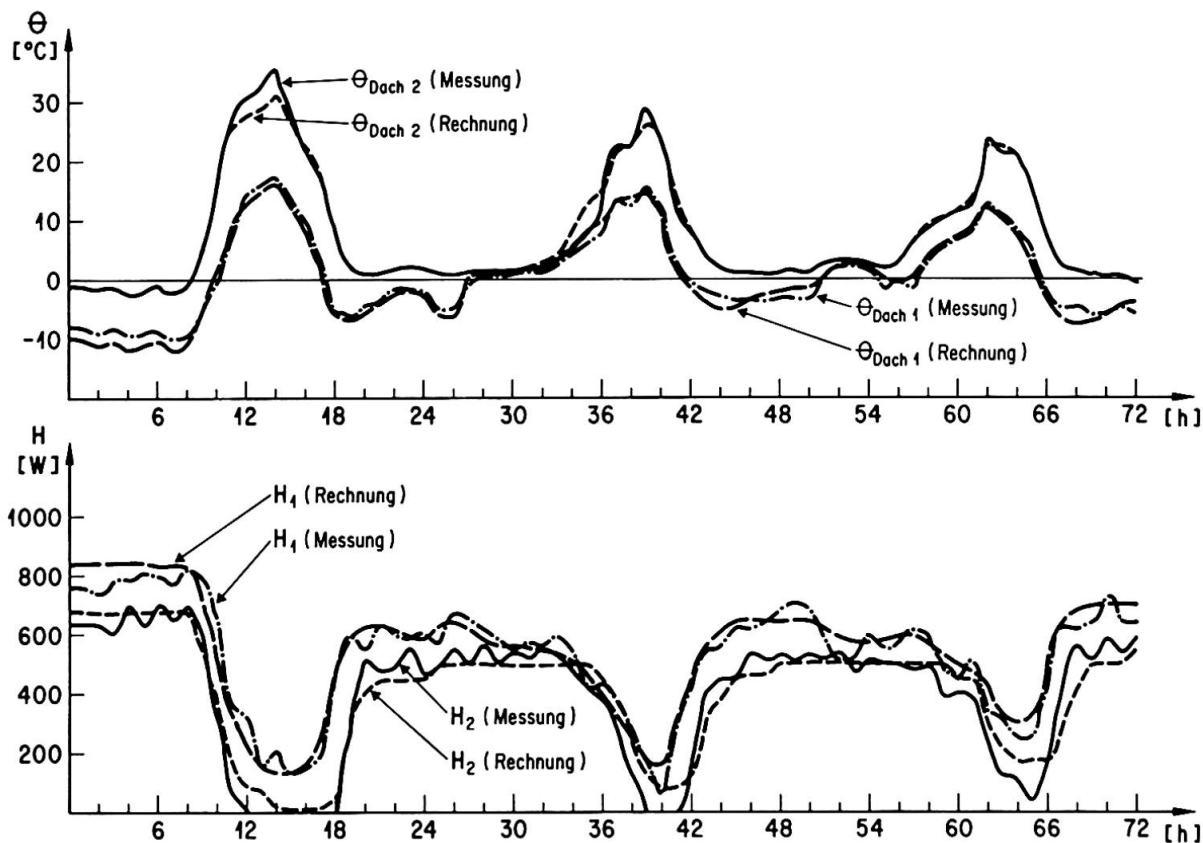


Abbildung 9: Korrelationsverhalten zwischen Messungen und Rechenmodell

Die berechneten Temperaturverläufe zeigen generell eine gute Übereinstimmung. Die Unstimmigkeiten bei den Temperaturspitzen sind immer noch auf Unzulänglichkeiten im Rechenansatz zur Berücksichtigung des konvektiven Wärmetransportes zurückzuführen (die Temperaturabhängigkeit von  $\alpha_k$  wurde nur stark vereinfacht berücksichtigt). Die ermittelten Heizleistungen weisen eine zufriedenstellende Genauigkeit auf. Das IR-verspiegelte Testgebäude erzielte über die 3 Tagesperiode eine Heizenergieeinsparung von 25 % gegenüber der IR-schwarzen Testkabine. Diese Resultate lassen sich nicht direkt auf die Baupraxis übertragen, da die heute üblichen Baumaterialien rauhere Oberflächen und dadurch auch wesentlich höhere konvektive Wärmeübergangskoeffizienten aufweisen.

## 2.5 Schlussfolgerungen

Die vorliegenden Rechen- und Messergebnisse zeigen, dass die Beeinflussung der Strahlungsvorgänge an der Gebäudehülle, insbesondere des IR-Anteiles, einen nicht zu vernachlässigenden Aspekt bei der Verbesserung des Wärmehaushaltes eines Gebäudes darstellen kann. Die Gebäudehülle muss dabei allen Anforderungen, sowohl bezüglich winterlichem als auch sommerlichem Wärmeschutz genügen. Einer guten Ausnutzung der Sonneneinstrahlung im Winter durch Verwendung von selektiven Oberflächenschichten hat im Sommer ein ausreichender Sonnenschutz gegenüberzustehen. Dies bedeutet, dass eine energiegerechte Fassade in Zukunft ein aktives System darstellen muss, um den wechselnden Randbedingungen (Sommer-Winterbetrieb, Tag-Nachtbetrieb) gerecht zu werden. Die weiteren Arbeiten im Rahmen des vorliegenden Projektes werden vermehrt auf diese Problemstellung ausgerichtet sein.

Literatur:

- [1] Kälin, R. und Kneubühl, F.: Die Verminderung des Wärmeverbrauchs von Gebäuden durch Infrarotverspiegelung von Fenstern, Fassaden und Dächern. Gesundheitsingenieur 98 (1977), 244
- [2] Finger, G. et al.: Verbesserung des Energiehaushalts von Gebäuden durch Verminderung der Wärmeabstrahlung von Fenstern und Fassaden. Schweizer Ingenieur und Architekt 17 (1979), 287
- [3] Kneubühl, F.K. et al.: Thermal radiation and buildings envelopes. Proceedings 2nd Int. CIB Symposium on energy conservation in the built environment, Copenhagen, Vol. 2 (1979), 173
- [4] Martin, M. Berdal, P.: Passive Cooling. Proceedings of the National Passive Solar Conf., Philadelphia (1978)
- [5] Lazzarin, R.: On Natural Radiative Cooling, Termotechnika 6 (1979), 345
- [6] Parmelee, G., Aubele, W.W.: Radiant Energy Emission of Atmosphere and Ground. ASHRAE Transactions 1442 (1952)
- [7] Bliss, R.: Atmospheric Radiation Near the Surface of the Ground: A Summary for Engineers. Solar Energy 513 (1961)
- [8] Cole, R.J.: The Longwave Radiative Environment around Buildings. Building and Environment 11 (1976)
- [9] Kimura, K.: Scientific Basis of Air Conditioning. Applied Science Publishers (1977)
- [10] Goldstein, R.J.: Application of aerial Infrared Thermography to the Measurement of Building Heat Loss. ASHRAE Transactions 2482 (1978)
- [11] Ito, N. et al.: A Field Experiment Study on the Convective Heat Transfer Coefficient on Exterior Surfaces of a Building. ASHRAE Transactions 2225 (1972)
- [12] Beckmann, W.A.: The Solution of Heat Transfer Problems on a Digital Computer. Solar Energy 13 (1971)
- [13] Stephenson, D.G., Mitalas, G.P.: Calculation of Heat Conduction Transfer Functions for Multilayer Slabs. ASHRAE Transactions 2108 (1969)
- [14] Frank, Th., Sagelsdorff, R.: Simulationsmodell zur Ermittlung des thermischen Verhaltens eines Raumes. EMPA-Bericht (August 1980)